

Light field imaging

Adelson y Bergen en 1991 introdujeron la función plenóptica, que describe la radiancia de σ rayo de luz en el espacio.

plenoptic \leftarrow "plenus" del latín: completo → lleno.

$$P(x, y, z, \theta, \phi, \lambda, t) \quad \text{FD}$$

coords. espaciales
de un punto por
el que pasa el
rayo

long. de onda

coordenadas
angulares
(incluyendo
dirección del rayo)

Muchas veces se puede reducir la dimensionalidad de la función plenóptica con las siguientes condiciones:

$$P(x, y, z, \theta, \phi, \lambda, t)$$

radiación es constante a lo largo de un rayo,
por lo que sólo necesitan dos parámetros para su localización (omitimos z)

Si la función no varía en el tiempo
(omitimos t)

luz monocromática
(podemos omitir λ)

Además, es común reemplazar los coords. polares (θ, ϕ) por coords. cartesianas (u, v) .

Bajo esas condiciones, se habla de una simplificación 4D de la función plenóptica, conocida debido al trabajo de Levoy y Hanrahan como "light field":

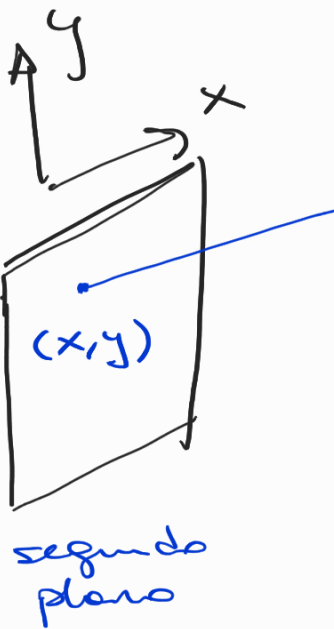
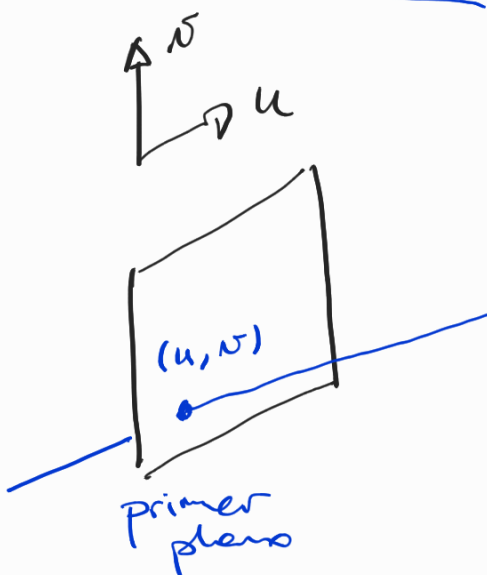
$$L(u, v, x, y) \text{ light field (4D)}$$

obs: el término de "light field" fue originalmente usado en la traducción de un trabajo sobre ingeniería de la iluminación en 1930, pero no tiene el sentido de un campo electromagnético como lo tiene de la Física.

El valor de $L(u, v, x, y)$ es la "cantidad" de luz (radiancia) de un rayo de luz monospectral.

obs: Para considerar imágenes a color, se asume que el light field es un vector con 3 componentes con información de radiancia para el rojo, verde y azul (o las longitudes de onda correspondientes)

Representación de rayos en un diagrama de rayos



Con la finalidad de comprender los conceptos básicos, consideraremos sólo una coordenada de c/plano

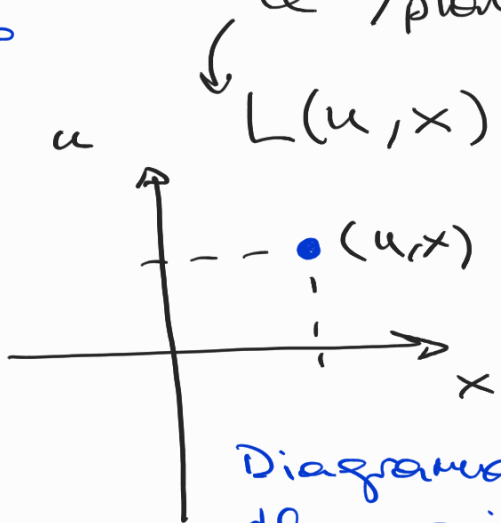
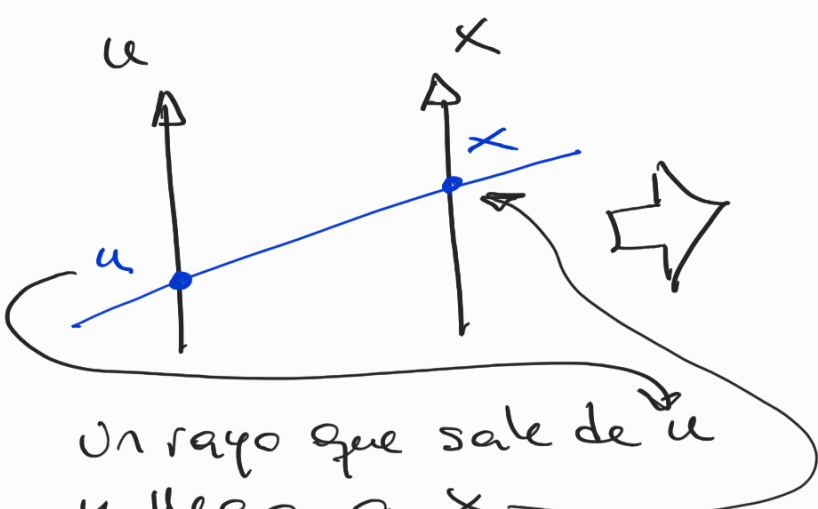
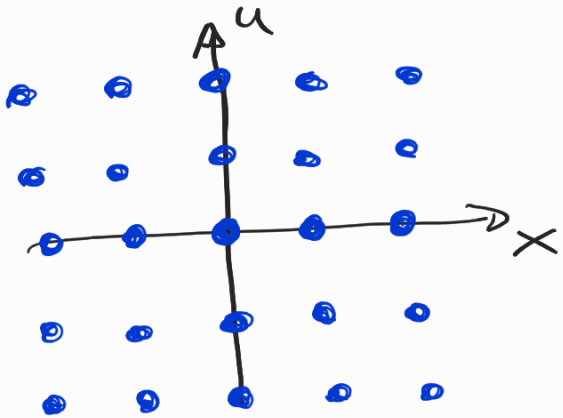
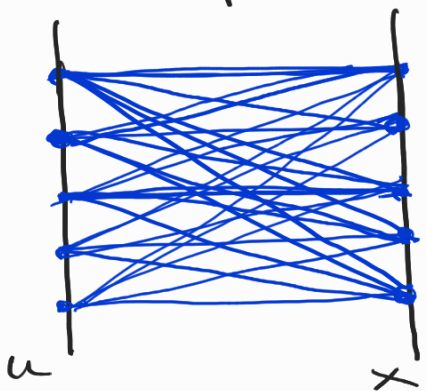
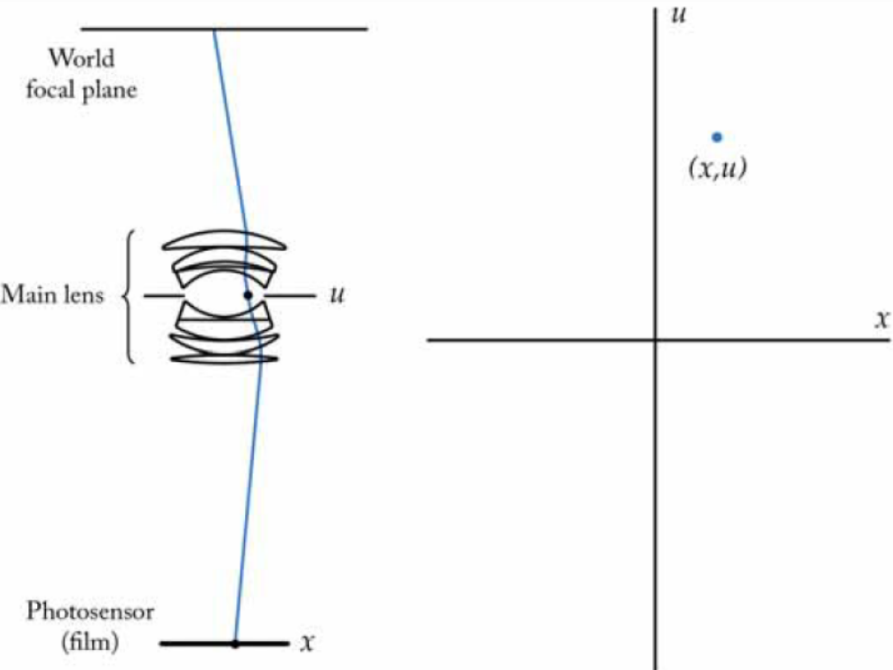


Diagrama 2D del espacio de rayos

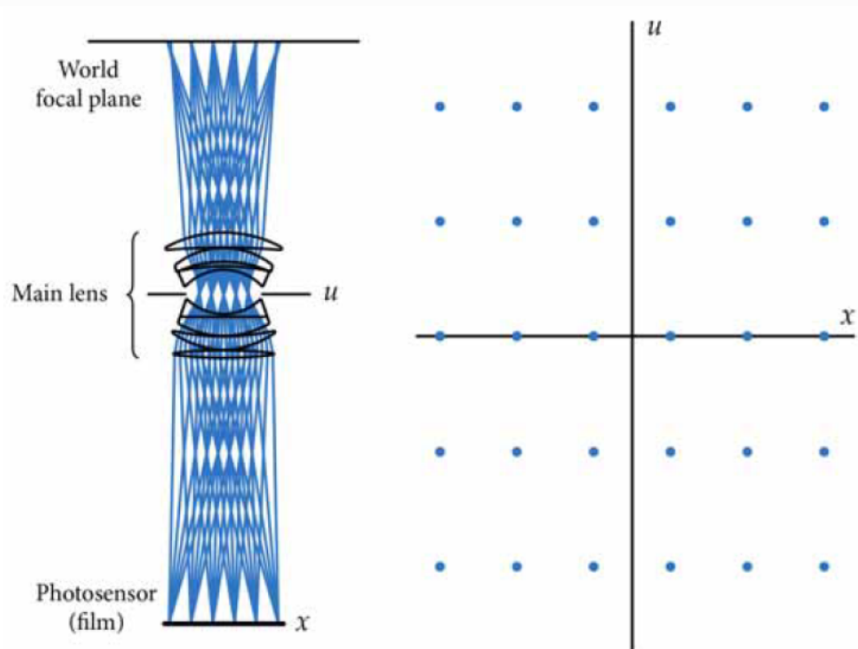
Un rayo que sale de u y llega a x —— corresponde al punto (u, x) en el diagrama de la dcha.

Rayos desde un conj. de puntos en el "plano" u y van a un conj. de puntos en el "plano" x

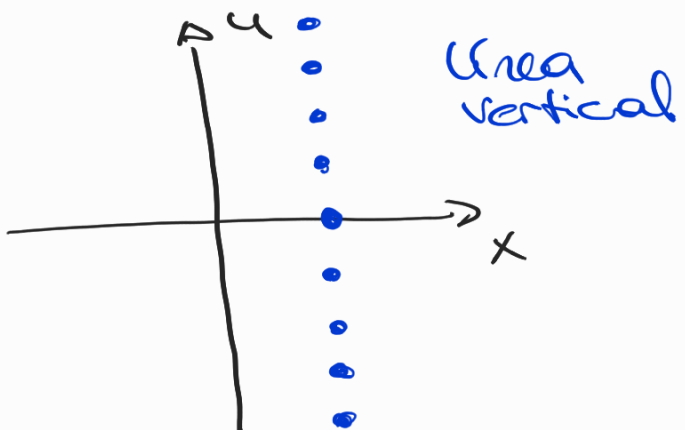
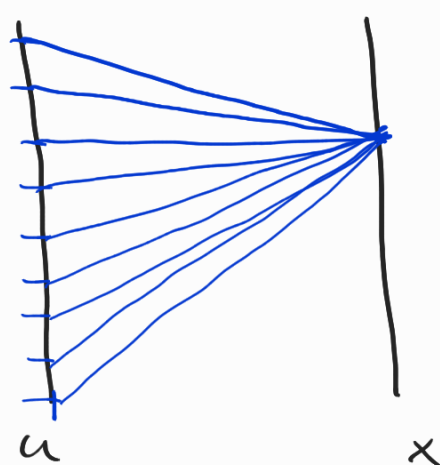


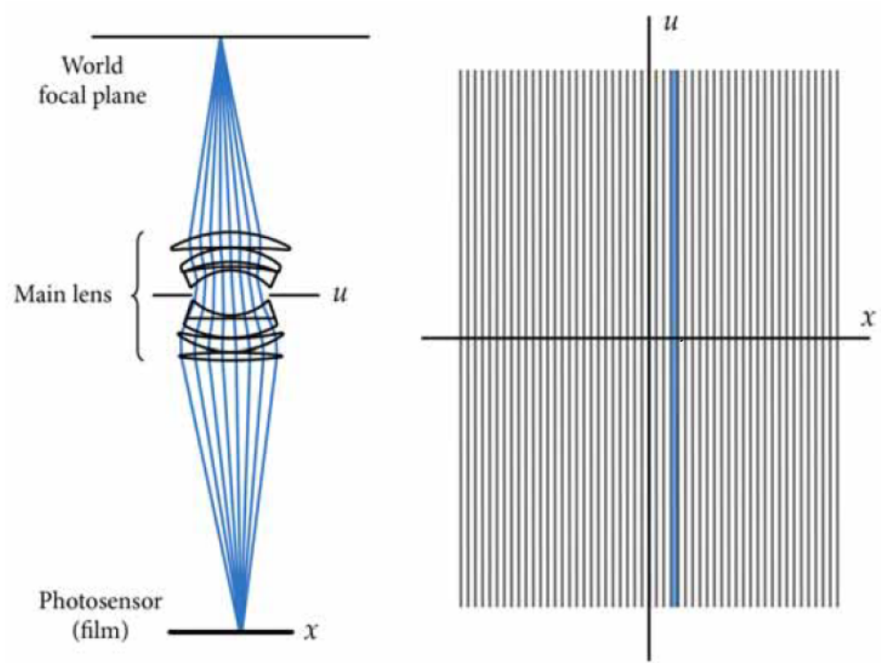


Cámara convencional



✓ rayo se muestra
como un posible
punto (x, u)
en el espacio
cartesiano de
rayos 2D

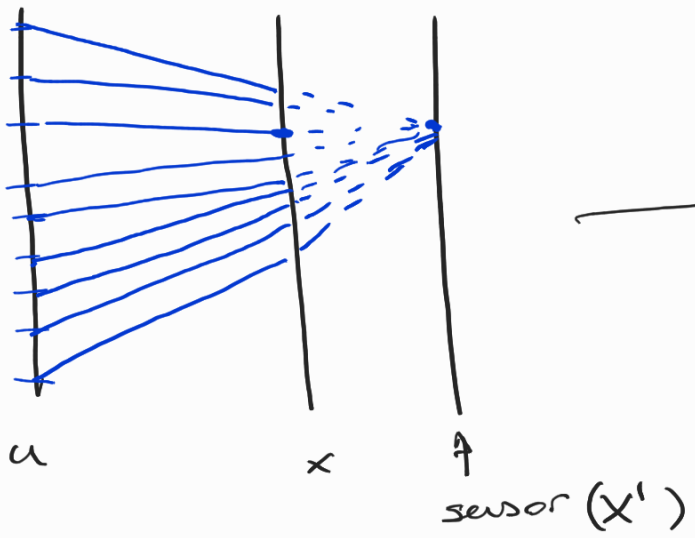




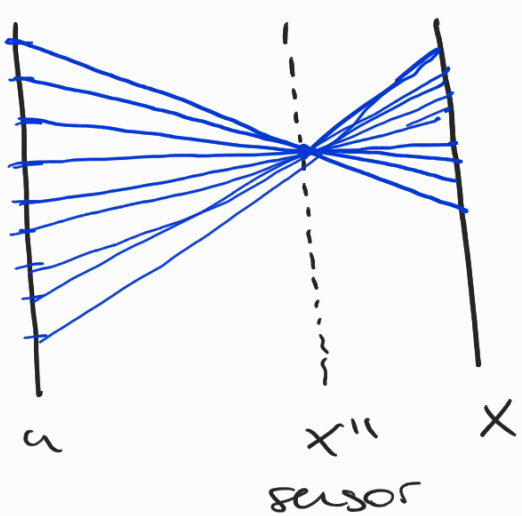
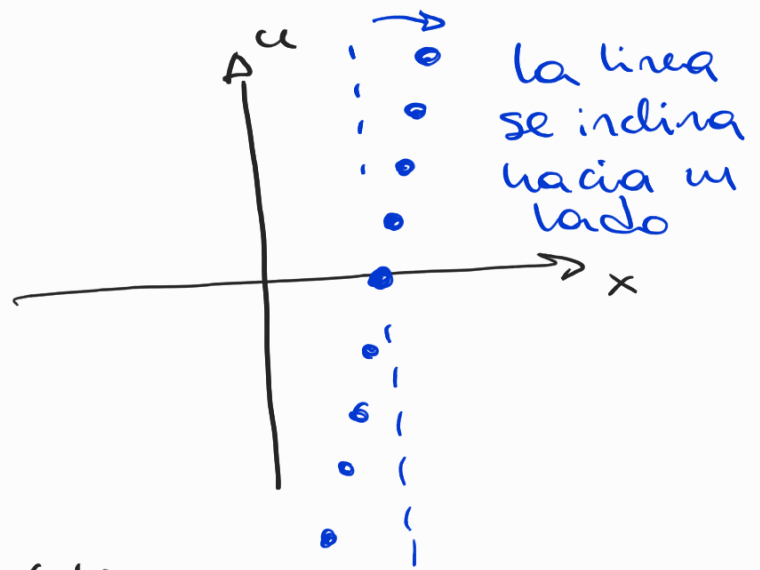
Está en azul el conj. de rayos que contribuyen a un pixel del sensor. Corresponde en 2D a la raya vertical (distintos u que llegan a un mismo x). A su vez diferentes píxeles ($\neq x$) corresponde a distintas líneas verticales en el espacio de rayos.

Importante: la formación de una imagen sobre el sensor (plano x) en el diagrama a la proyección vertical de los valores del light field. La proyección preserva el valor de x pero destruye la información sobre u .

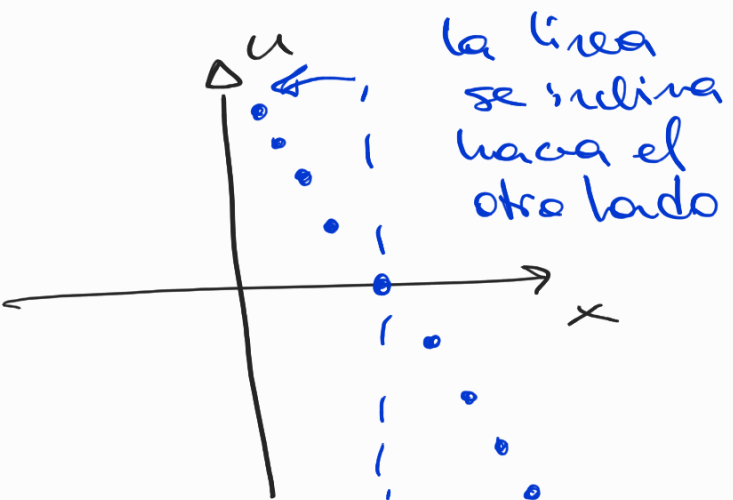
DSS: la discusión previa está limitada al caso en que el sensor coincide con el "plano" de parametrización x , pero eso puede no ocurrir.

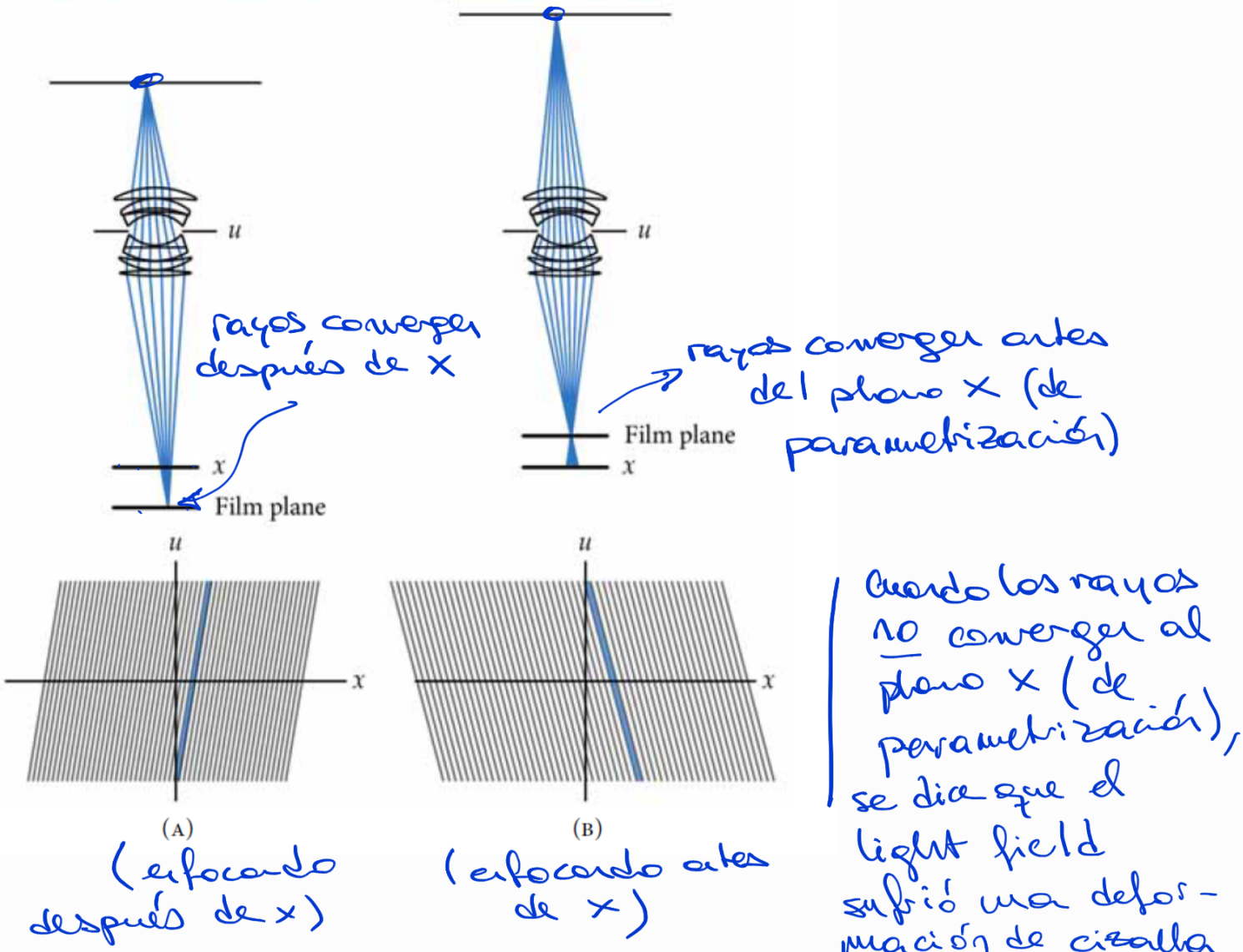


rayos que convergen
detrás del "plano" x



rayos que convergen
delante del "plano" x





Del light-field a la imagen

(Cámara convencional)

La imagen que se forma dentro de una cámara convencional es proporcional a la irradiancia en el sensor. Vamos a considerar el sensor en el plano (x, y) .

$F = \text{separación entre planos}$

$\text{u} \quad u$
 $\text{A} \quad \text{(plano de apertura de la lente)}$

$F \quad \times \quad x$
 $\text{F} \quad \text{(plano del sensor)}$

$E_F(x, y) = \frac{1}{F^2} \iint_{-\infty}^{+\infty} L_F(x, y, u, v) du dv \quad (1)$

\uparrow light field parametrizado por los planos en la separación F

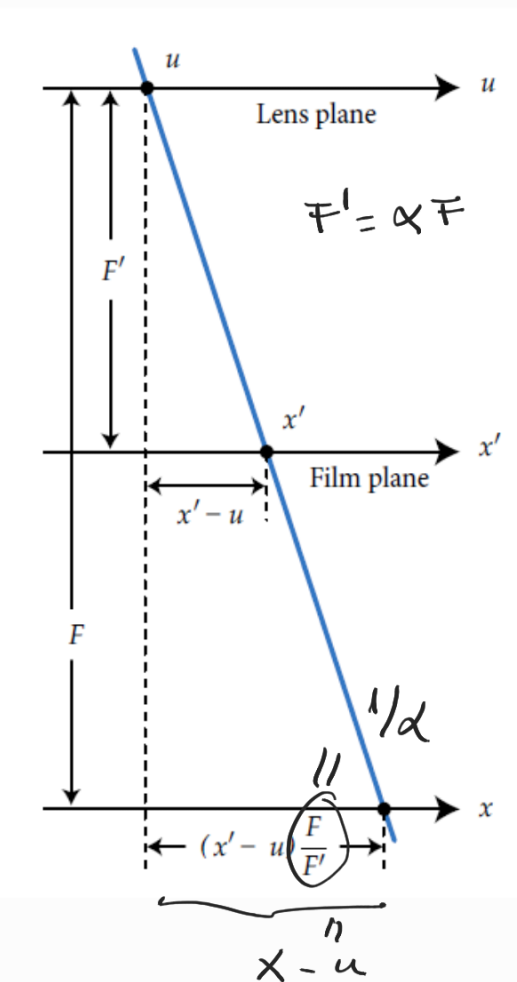
$\left\{ \begin{array}{l} T(u, v) \\ T(u, v) = \text{circle}(u, v) = \begin{cases} 2; & u^2 + v^2 < R^2 \\ 0; & \text{de otro modo} \end{cases} \end{array} \right.$

~~$\cos^4 \theta$~~ (consid. aprox. paraxial)

Éso sería una fotografía enfocada para una distancia F entre la lente y el sensor.

Enfocar a diferentes profundidades corresponde a cambiar la distancia entre la lente y el sensor (recordemos $\frac{1}{s_i} + \frac{1}{s_o} = \frac{1}{f}$)

Esto resulta en una transformación de cizalla de la trayectoria de las líneas de rayos de integración en el espacio de rayos (algo de eso vimos antes).



Si consideramos el sensor en x' , lo acercamos a una distancia $F' = \alpha F$ del plano u (lente).

Queremos $L_{F'}(x', u)$ en términos de $L_F(x, u)$ y volver a la ec. (1).

$$x - u = \frac{x' - u}{\alpha} \rightarrow x = u + \frac{x' - u}{\alpha}$$

$$\begin{matrix} x \\ \downarrow \\ u + \frac{x' - u}{\alpha} \end{matrix}$$

Entonces,

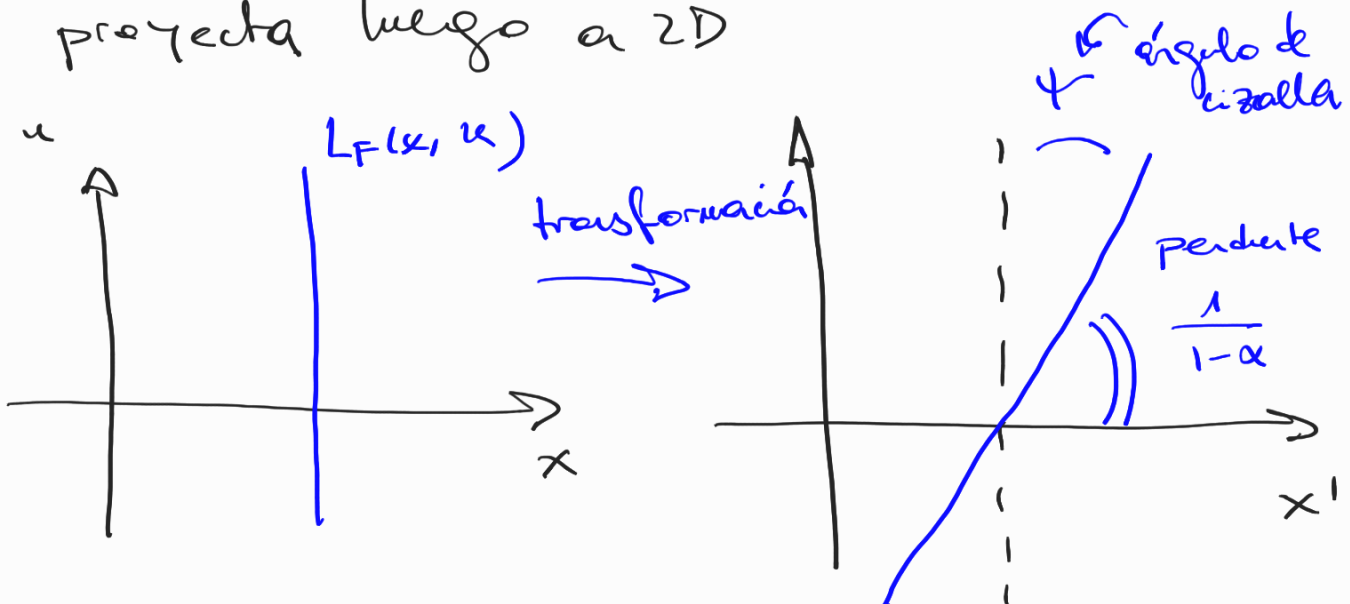
$$\begin{aligned} L_{F'}(x, y, u, \bar{s}) &= L_F \left(u + \frac{x - u}{\alpha}, \bar{s} + \frac{y - \bar{s}}{\alpha}, u, \bar{s} \right) \\ &\text{(")} \\ &= L_F \left[u \left(1 - \frac{1}{\alpha} \right) + \frac{x'}{\alpha}, \bar{s} \left(1 - \frac{1}{\alpha} \right) + \frac{y'}{\alpha}, u, \bar{s} \right] \quad (2) \end{aligned}$$

Sustituyendo en (1):

$$E_{(\alpha F)}(x', y') = \frac{1}{\alpha^2 F^2} \iint_{-\infty}^{+\infty} L_F \left[u \left(1 - \frac{1}{\alpha} \right) + \frac{x'}{\alpha}, v \left(1 - \frac{1}{\alpha} \right) + \frac{y'}{\alpha}, u, v \right] du dv \quad (3)$$

↓ irradiación en (x', y') en un punto virtual a distancia αF de (u, v) .

La imagen se puede pensar como una transformación de cizalla del light field (LF) que se proyecta luego a 2D



$$\varphi = \frac{\pi}{2} - \operatorname{tg}^{-1} \left(\frac{1}{1-\alpha} \right) = \operatorname{tg}^{-1} (1-\alpha) \quad (4)$$

Resumiendo:

Proceso de formar una imagen 2D a partir del light field en una cámara convencional.

- Capturar una imagen es efectivamente la integración del light field en las variables (u, v) como sugiere la ec. (1). En la representación del diagrama de rayos 2D es la proyección sobre el eje horizontal x .
- Si cambiamos la posición virtual del sensor, el light field sufre una transformación de cizalla. Acercar el sensor a la lente resulta en una cizalla hacia la derecha de ángulo θ dado por la ec. (4). Poner el sensor virtual más lejos de la lente se produce el efecto opuesto.
- Si (x, y) representa el plano ideal de enfoque con respecto al objeto, mover el sensor a otro plano significa primero considerar la deformación de cizalla y luego la proyección horizontal y el resultado sería una imagen borrosa.

Cámaras plenópticas (Plenoptic Camera)

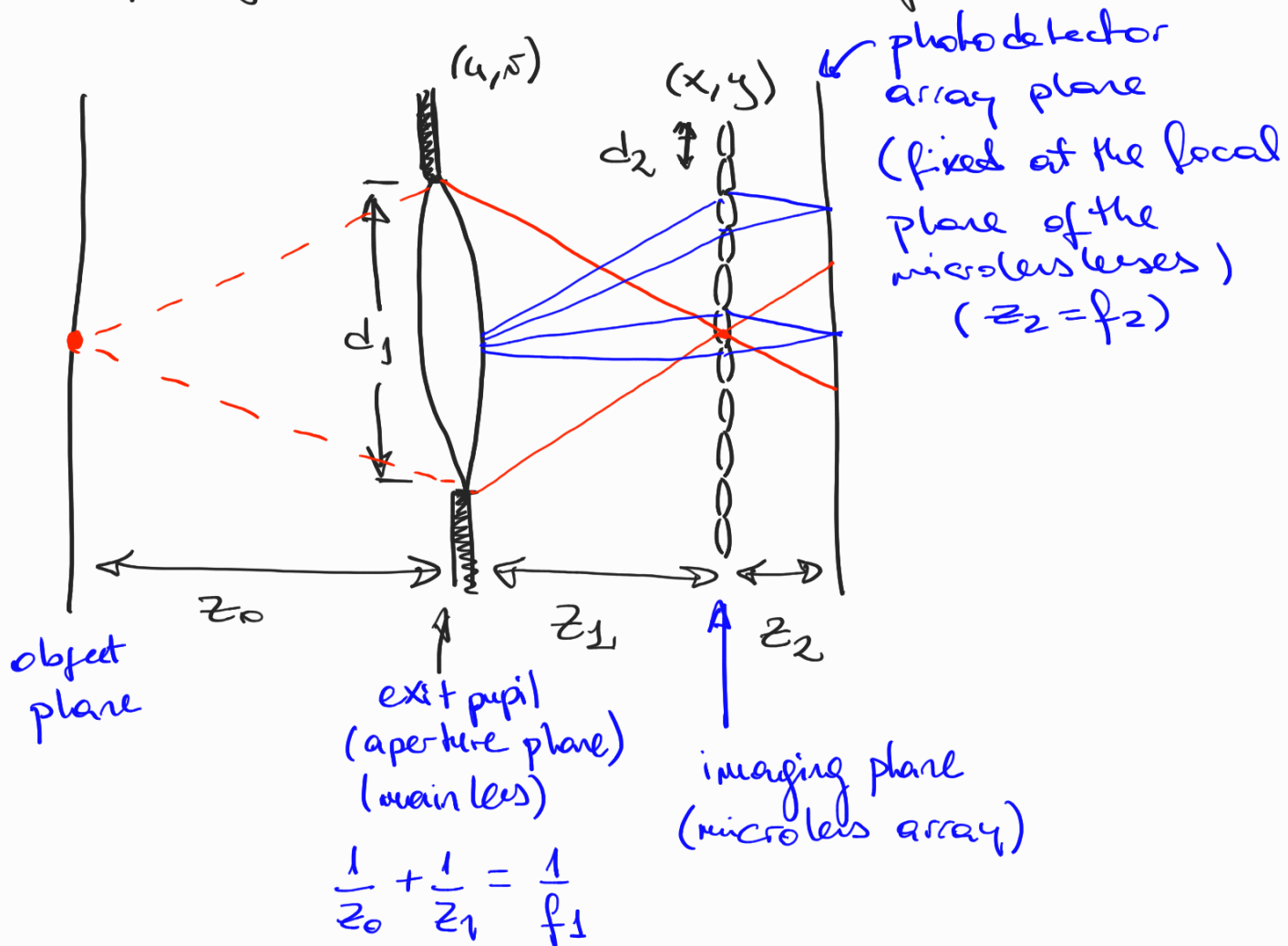
- ≡ Gabriel Lippmann (físico), que en 1908 ganó el nobel de Física por su invento de la fotografía a color basada en interferencia, también publicó en ese mismo año un trabajo sobre una técnica de "fotografía integral".
Se trataba de un arreglo de pequeñas lenticillas donde las imágenes se formaron sobre un film detrás de las lenticillas, con una perspectiva ligeramente diferente.
- ≡ En 1930's, Herbert Ives, quien fuera presidente de la OSA (Optical Society of America), mejoró el diseño de Lippmann. Agregó una lente principal con diámetro mayor y propuso un método para invertir la profundidad y corregir la pseudoscopía.
- ≡ Otras décadas mas tarde Chaitin y Collier desarrollaron un método para hacer posible la imaginaria integral generada por computadora (Computer-generated integral imaging - CGII).
- ≡ El siguiente desarrollo significativo emerge principalmente de las áreas de 'Computer Vision' y 'Computer Graphics'. En seguida de

definir la Función Plenóptica, Adelson y Wang desarrollaron un sistema de captura para colectar los datos y lo nombraron 'Cámaras Plenópticas'.

Cámara plenóptica convencional, 'Focused Plenoptic Camera'

Cámara plenóptica 1.0

Se puede pensar como una versión de campo lejano de 'integral imaging'.



En esta configuración, el arreglo de microlentes se coloca en el plano imagen de la lente principal (es decir en una cámara convencional, pondriamos el fotodetector en ese plano para obtener una imagen en foco del objeto.)

Entonces, si la lente principal tiene distancia focal f_1 , $\frac{1}{z_0} + \frac{1}{z_1} = \frac{1}{f_1}$.

El fotodetector se ubica a distancia z_2 detrás del arreglo de lentillas. Entonces los rayos de luz que convergen en el plano de los microlentes van a diverger nuevamente y llegarán al sensor en diferentes localizaciones. La imagen así capturada contiene información direccional (angular) del objeto.

Como los microlentes son muy pequeños en comparación con la lente principal, z_1 se encuentra a efectos prácticos en el infinito óptico, por lo que si las microlentes tienen distancia focal $f_2 \Rightarrow z_2 = f_2$.

Para evitar cross-talk, los rayos no deberían extenderse a los píxeles asociados (detrás) de microlentes adyacentes.

Éso se logra si $\frac{d_1}{z_1} = \frac{d_2}{z_2}$ (f-Number de la lente principal coincide con f-Number de microletra)

Esta configuración óptica particular, permite capturar el light field con el fotodetector.

'Subarray images' y 'Subaperture images'

↙ (parecido a imágenes elementales de INIM)
región del fotodetector dentro de 1/microletra

Si 1/microletra lo pensamos como un pequeño pixel virtual, la imagen 'sub-arreglo' captura la información direccional de los rayos que pasan por ese pixel.

($L(u,v,x,y)$ con diferentes (u,v) pero el mismo (x,y))

↙ (parecido a sub-imágenes en INIM)
Como las microletras son muy pequeñas entornos de un (u,v) llegan a c/cellula rayos 'paralelos'!

(rayos $L(u,v,x,y)$ con mismo (u,v) pero diferentes (x,y))

Sub array images

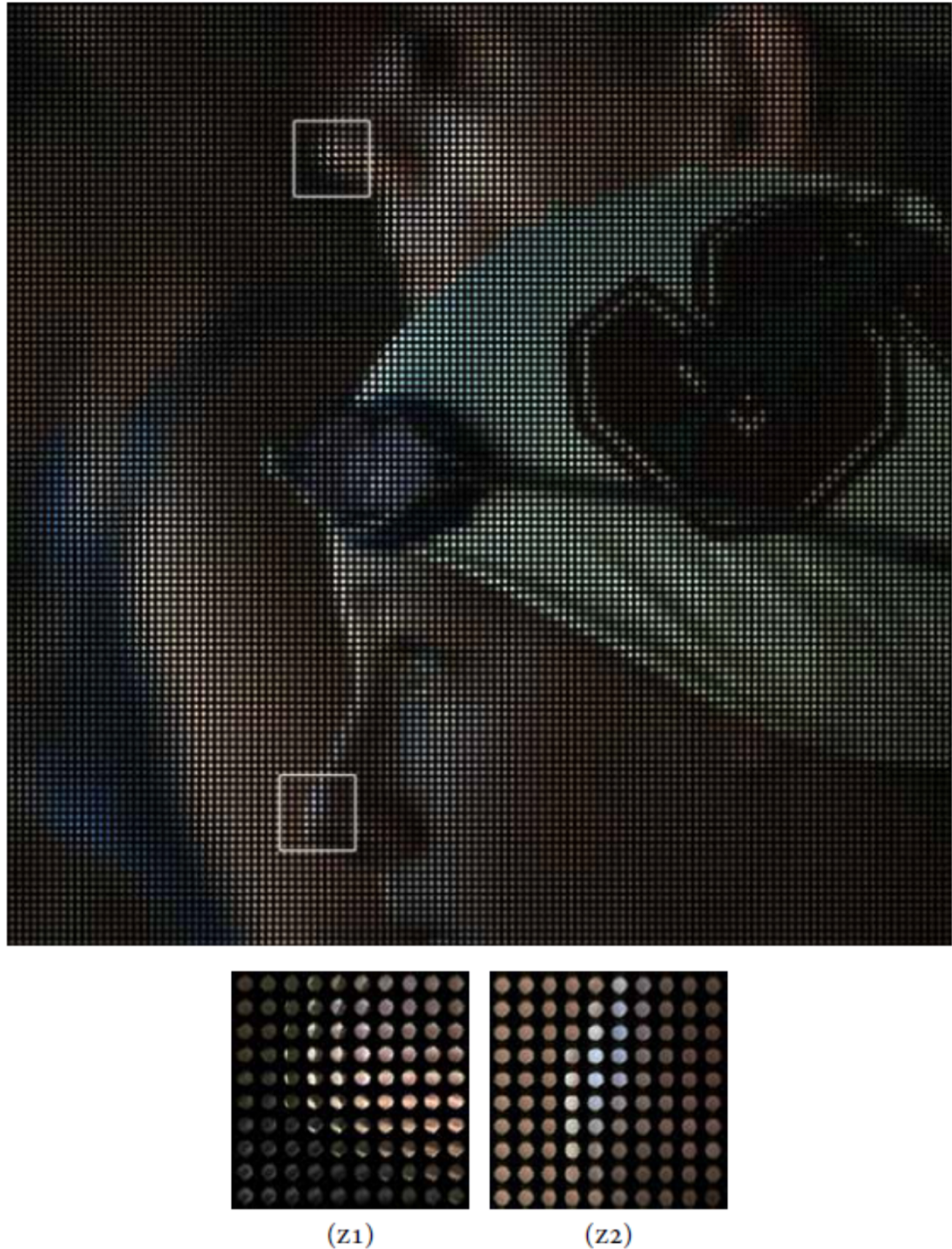


Figure 3.3: Raw light field photograph read off the photosensor underneath the microlens array. The figure shows a crop of approximately one quarter the full image so that the microlenses are clearly visible in print.

Sub-aperture images

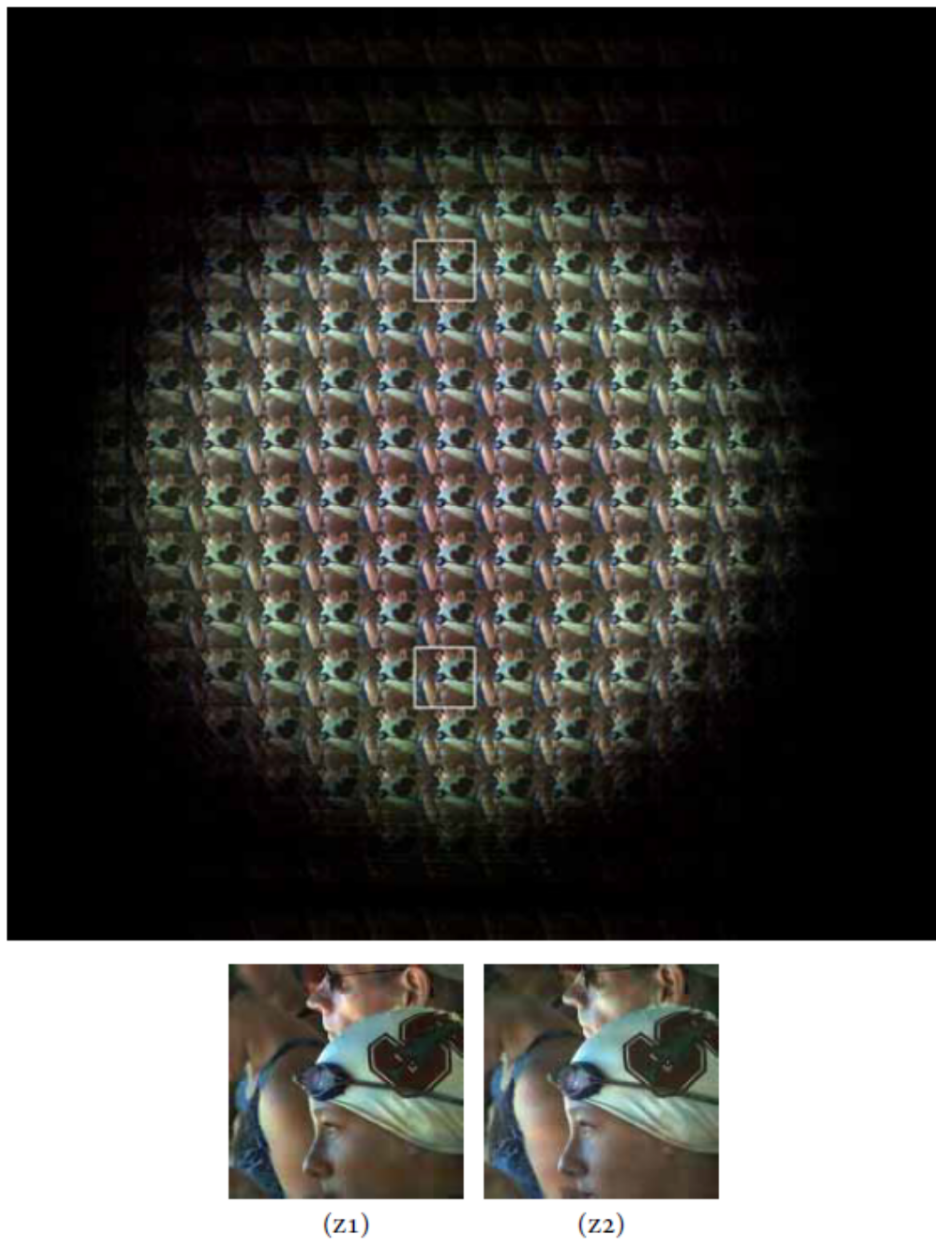
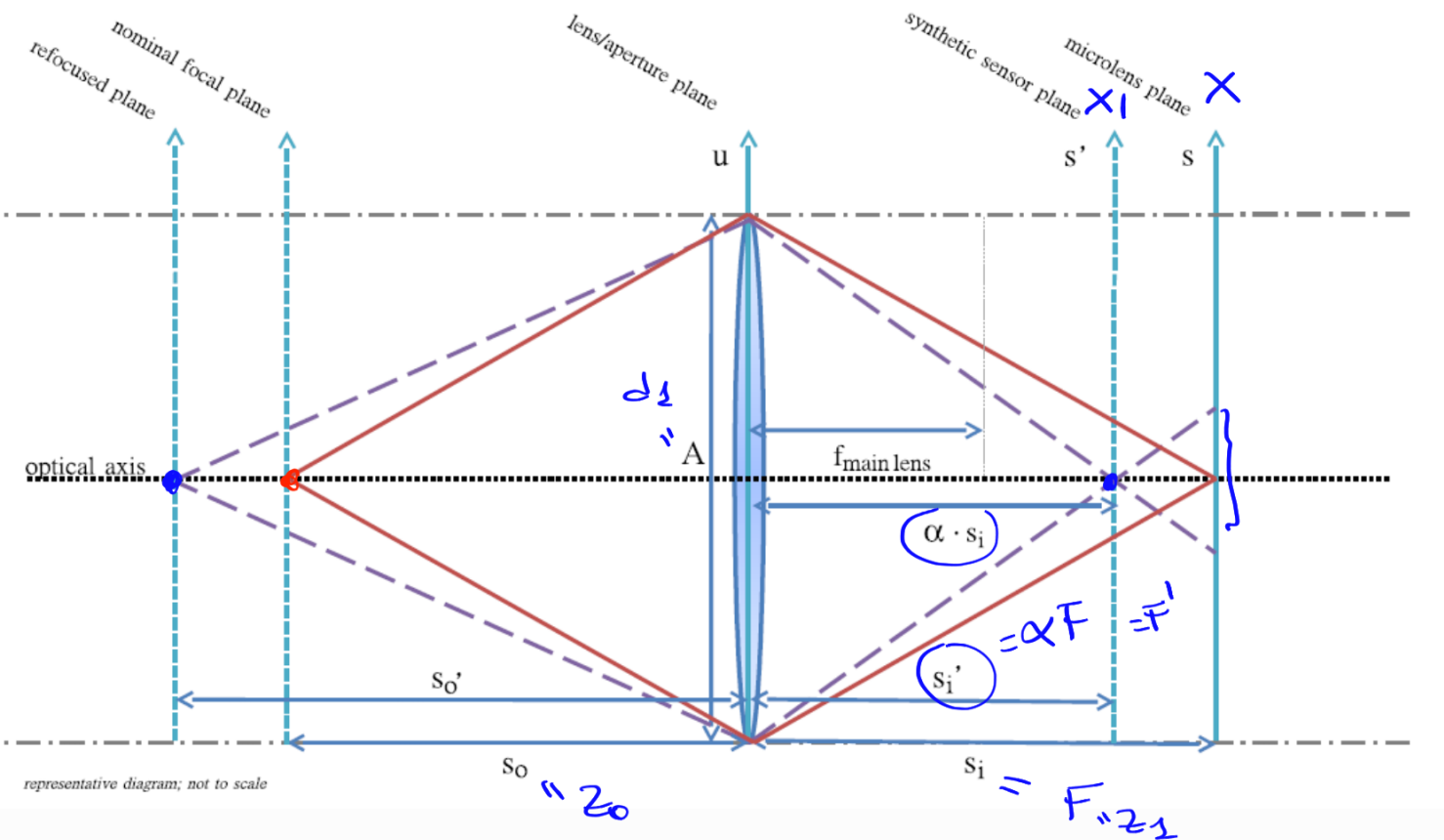


Figure 3.5: Sub-aperture images of the light field photograph in Figure 3.3. Images z_1 and z_2 are close-ups of the indicated regions at the top and bottom of the array, respectively.

Para crear una 'sub-aperture image', se considera un valor (u, v) y se 'lee' el valor correspondiente a ese (u, v) en cada 'subarray image' y se 'pegan' juntas para formar la imagen de salida.

Reenfoque Digital (Digital Refocusing)



La cámara plenóptica permite hacer un reenfoque computacional de la imagen plenóptica luego de la captura inicial. Esto es, una única imagen plenóptica 'raw' puede ser reenfocada a nuevos planos focales arbitrarios a través de post-procesamiento digital.

Consideremos una fuente puntual localizada en el plano nominal focal de la cámara plenóptica y en el eje óptico (\bullet), la distancia de este punto a la lente principal es la distancia objeto s_0 . Los rayos de luz provenientes

de ese objeto están indicados con las líneas sólidas en rojo. Estos rayos van a converger a el arreglo de microlentes en el plano X donde la fuente puntual estaría en foco (a distancia s_0 de la lente principal).

Ahora consideremos otra fuente puntual (\bullet), localizada en el eje óptico pero detrás del plano nominal focal de la cámara plenóptica. Los rayos provenientes de ese punto convergerán a una cierta distancia en frente de los microlentes y divergerán para cuando llegan al plano de microlentes.

Sin embargo, definiendo un nuevo plano (sensor virtual) en X' en el lugar donde convergen los rayos en S' , es posible obtener una nueva imagen reafocada digitalmente para ver en foco la fuente puntual en S_0' .

La profundidad del plano de refoque se controla a través del parámetro α .

Términos de ec. (3) :

$$E_{(xF)}(x', y') = \frac{1}{\alpha^2 F^2} \iint \left[L_F \left[u \left(1 - \frac{1}{\alpha} \right) + \frac{x'}{\alpha}, v \left(1 - \frac{1}{\alpha} \right) + \frac{y'}{\alpha}, u, v \right] \right] du dv$$

light field parametrizado
por el punto (x', y') a
distancia F de (u, v)
en distancia αF de (u, v)

El reenfoque digital es conceptualmente la suma
dilatada y corrida de las imágenes subapertura
sobre todo el punto (u, v) de la apertura

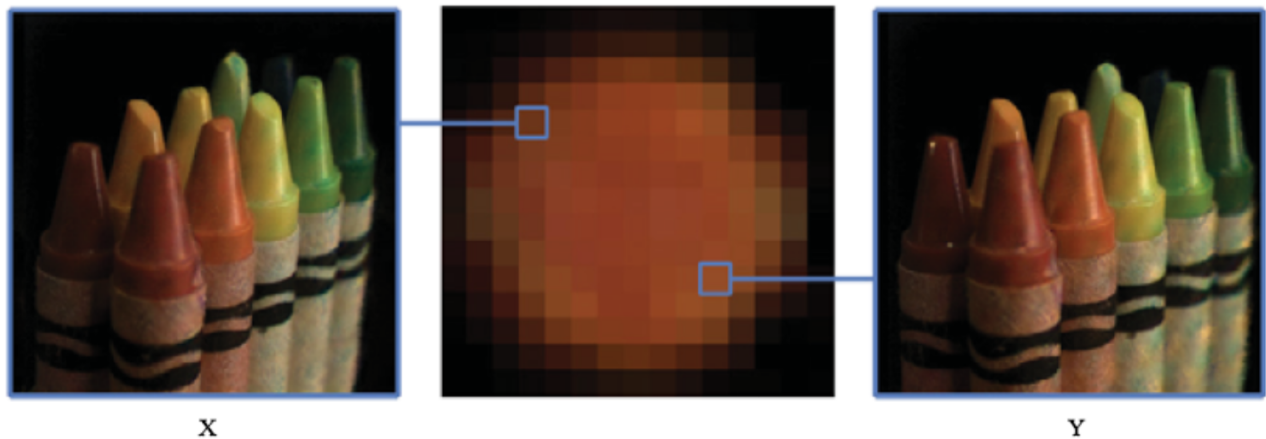
$$L_F^{(u, v)} \left[u \left(1 - \frac{1}{\alpha} \right) + \frac{x'}{\alpha}, v \left(1 - \frac{1}{\alpha} \right) + \frac{y'}{\alpha} \right] \text{ imagen subapertura}$$

a partir de $L_F^{(u, v)}(x', y')$

dilatada un factor α y corrida en un
factor $\left[u \left(1 - \frac{1}{\alpha} \right), v \left(1 - \frac{1}{\alpha} \right) \right]$.

|| El reenfoque digital se puede implementar
desplazando y sumando las imágenes de
subaperturas del light field.

*subaperture
images*



X

Y



(A): No refocus

(B): Refocus closer

(C): Refocus further

Figure 4.2: Shift-and-add refocus algorithm, illustrated with just two sub-aperture images for didactic purposes.

